



وزارت علوم، تحقیقات و فناوری

دانشگاه تفرش

دانشگاه مهندسی برق

پایان نامه کارشناسی ارشد

پایدارسازی فرآیندهای صنعتی تاخیردار با استفاده

Hermite-Biehler از قضیه

اساتید راهنمای:

دکتر حمید رضا علیخانی

دکتر علی مددی

دانشجو:

محمد شهسواری گلرخ

لَعْدِيْمُ بَهْ

پر و مادر عزیزم و روح برادر کرامیم

بدین وسیله اینجانب از زحمات بی شائبه اساتید راهنمای عزیز، آقایان دکتر علیخانی و دکتر مددی که در به پایان رساندن این پروژه بنده را یاری کردند و از وقت با ارزش خودشان برای راهنمایی بنده استفاده کردند تشکر و قدردانی به عمل می آورم. همچنین از پدر و مادر عزیزم که حمایت های لازم مخصوصاً حمایت روحی را از من به جا آورده سپاس گزاری می کنم.

چکیده

آنالیز پایداری سیستم‌ها و فرآیندهای بدون تاخیر ساده می‌باشد. زیرا تعداد ریشه‌های معادله مشخصه سیستم حلقه بسته محدود است. اما وقتی که تاخیر به دلایل مختلف وارد سیستم می‌شود آنالیز پایداری سیستم را دچار مشکل می‌کند. زیرا این بار تعداد ریشه‌های معادله مشخصه سیستم حلقه بسته نامحدود می‌شود. در حالت بدون تاخیر معادله مشخصه سیستم یک چندجمله‌ای خواهد بود که پایدارسازی آن با روش‌های شناخته شده نظری روث-هرویتز امکان پذیر است. در صورت وارد شدن تاخیر به سیستم، معادله مشخصه دیگر چندجمله‌ای نخواهد بود که آن را شبه چندجمله‌ای می‌نامیم. Pontryagin جزء اولین محقق‌هایی بود که راجع به ریشه‌های شبه چندجمله‌ای‌ها بحث کرد. در اینجا قضیه Hermite-Biehler یا به اختصار قضیه H-B مطرح می‌شود که نسخه اصلی آن برای پایدارسازی چندجمله‌ای‌ها به کار گرفته می‌شود. این محقق نسخه تعمیم یافته‌ای از این قضیه مطرح کرد که قابل استفاده برای این شبه چندجمله‌ای‌ها می‌باشد. در تحقیقات قبلی کنترلر PID به فرآیند مرتبه اول و مرتبه دوم تاخیردار اعمال شده و با استفاده از این قضیه تعمیم یافته H-B، فضای پایدار کننده بهره‌های کنترلر طوری تعیین شده است که معادله مشخصه سیستم پایدار هرویتز شود. ما در این پایان نامه کنترل کننده مرتبه اول به فرآیندهای مرتبه اول و مرتبه دوم تاخیردار اعمال می‌کنیم. همچنین، خانواده کنترلر PID و کنترل کننده مرتبه اول به فرآیندهای مرتبه اول و دوم انتگرالی تاخیردار اعمال می‌کنیم. در همه این حالات فضای پایدارسازی بهره‌های کنترلر را طوری تعیین می‌کنیم که معادله مشخصه سیستم حلقه بسته پایدار هرویتز شود.

کلید واژه‌ها

فرآیند صنعتی (Industrial Process) ، سیستم تاخیردار (Time-Delay System) ، قضیه H-B (PID Controller Stability) ، پایداری (Hermite-Biehler Theorem)

فهرست مطالب

صفحه	عنوان
۱	فصل اول: مقدمه
۱	۱- سیستم های تاخیردار و شبیه چندجمله ای ها
۶	۲- قضیه H-B برای شبیه چندجمله ای ها
۹	۳- مروری بر کارهای پیشین
۱۳	فصل دوم: پایدارسازی فرآیند انتگرالی تاخیر دار مرتبه اول با خانواده کنترلر PID و کنترل کننده مرتبه اول
۱۷	۱- پایدارسازی با کنترلر P
۲۱	۲- پایدارسازی با کنترلر PD
۲۷	۳- پایدارسازی با کنترلر PI
۳۴	۴- پایدارسازی با کنترلر PID
۳۹	۵- پایدارسازی با کنترل کننده مرتبه اول
۵۵	فصل سوم: پایدارسازی فرآیند انتگرالی مرتبه دوم تاخیر دار با خانواده کنترلر PID و کنترل کننده مرتبه اول
۵۵	۱- پایدارسازی با کنترلر P
۵۷	۲- پایدارسازی با کنترلر PI
۶۳	۳- پایدارسازی با کنترلر PD
۶۸	۴- پایدارسازی با کنترلر PID
۷۲	۵- پایدارسازی با کنترل کننده مرتبه اول
۸۲	فصل چهارم: پایدارسازی فرآیند مرتبه اول تاخیر دار با کنترل کننده مرتبه اول
۸۳	۱- سیستم حلقه باز پایدار ($T > 0$)
۱۰۹	۲- سیستم حلقه باز ناپایدار ($T < 0$)

۱۲۷	فصل پنجم: پایدارسازی فرآیند مرتبه دوم تا خیر دار با کنترل کننده مرتبه اول
۱۴۱	فصل ششم: نتیجه گیری و پیشنهادات
۱۴۱	۱- نتیجه گیری
۱۴۷	۲- پیشنهادات
۱۵۰	ضمیمه
۱۵۶	مراجع

فهرست شکل ها

صفحه	عنوان
۲	۱-۱
۲	۲-۱ : مخزن گرم کننده به همراه یک لوله بلند
۳	۳-۱ : نمایش تاخیر
۳	۴-۱ : ظاهر شدن تاخیر در خروجی
۳	۵-۱ : ظاهر شدن تاخیر در خروجی
۴	۶-۱ : ظاهر شدن تاخیر درون حلقه
۴	۷-۱ : سیستم با چندین تاخیر
۱۵	۱-۲
۱۷	۲-۲ : ناحیه پایداری به ازای $0 < K_p < \frac{\pi}{2KL}$
۱۸	۳-۲ : ناحیه پایداری به ازای $K_p = \frac{\pi}{2KL}$
۱۸	۴-۲ : ناحیه پایداری به ازای $\frac{\pi}{2KL} < K_p < K_p^{(1*)}$
۲۶	۵-۲ : فضای A و K_d به ازای $L = 4$ و بهره های مختلف
۲۶	۶-۲ : فضای A و K_d به ازای $L = 4$ و تاخیرهای مختلف
۲۹	۷-۲ : نمودار $ALK_p = -4$ و $f(z) = z\sin(z)$
۳۰	۸-۲ : نمودار $ALK_p = 1$ و $f(z) = z\sin(z)$
۳۱	۹-۲ : نمودار $ALK_p = 5$ و $f(z) = z\sin(z)$
۳۳	۱۰-۲ : فضای A و K_i به ازای $L = 1$ و تاخیرهای مختلف
۳۴	۱۱-۲ : فضای A و K_i به ازای $L = 1$ و بهره های مختلف
۳۷	۱۲-۲ : ناحیه پایداری K_d و K_i به ازای $K_p = 1$ و $L = 4$ ، $A = 0.25$
۳۸	۱۳-۲ : ناحیه پایداری K_d و K_i به ازای $K_p = \frac{\pi}{2AL}$ و $L = 4$ ، $A = 0.25$
۳۸	۱۴-۲ : ناحیه پایداری K_d و K_i به ازای $K_p = 1.7$ و $L = 4$ ، $A = 0.25$
۴۲	۱۵-۲ : نمودار $AK = 1$ با معادله (۴۴-۲) و $f(z)$
۴۳	۱۶-۲ : نمودار $AK = -1$ با معادله (۴۴-۲) و $f(z)$
۴۳	۱۷-۲ : نمودار $AK = 10$ و $f(z)$ با معادله (۴۵-۲)
۴۴	۱۸-۲ : نمودار $AK = 10$ و $f(z)$ با معادله (۴۵-۲)
۴۵	۱۹-۲ : نمودار $AK = -10$ و $f(z)$ با معادله (۴۵-۲)
۴۶	۲۰-۲ : نمودار $AK = 1$ و $f(z)$ با معادله (۴۷-۲)
۴۷	۲۱-۲ : نمودار $AK = 1$ و $f(z)$ با معادله (۴۸-۲)
۴۷	۲۲-۲ : نمودار $AK = 3$ و $f(z)$ با معادله (۴۹-۲)

- ۴۸ $0 < z < 2$ و $AK = -0.5$ با معادله (۵۰-۲) و $f(z)$ نمودار ۲۳-۲
- ۴۹ $0 < z < 6\pi$ و $AK = -0.5$ با معادله (۵۰-۲) و $f(z)$ نمودار ۲۴-۲
- ۴۹ $0 < z < 2$ و $AK = -50$ با معادله (۵۱-۲) و $f(z)$ نمودار ۲۵-۲
- ۵۰ $0 < z < 2$ و $AK = -50$ با معادله (۵۱-۲) و $f(z)$ نمودار ۲۶-۲
- ۵۴ τ_2 به ازای ۳ مقدار از $A = L = 1$ و فضای پایدارسازی K با $f(z)$ ۲۷-۲
- ۶۰ $AL^2 K_p = -8$ و $f(z) = z^2 \cos(z)$ نمودار ۱-۳
- ۶۰ $0 < z < 2$ و $AL^2 K_p = 0.3$ و $f(z) = z^2 \cos(z)$ نمودار ۲-۳
- ۶۱ $2 < z < 16$ و $AL^2 K_p = 0.3$ و $f(z) = z^2 \cos(z)$ نمودار ۳-۳
- ۶۷ A و K_d و K_p به ازای ۱ و بهره های مختلف فضای ۴-۳
- ۶۷ L و K_d و K_p به ازای ۱ و تا خیره های مختلف فضای ۵-۳
- ۷۱ $K_i < AK_p K_d$ بدون اعمال قید فضای پایدارسازی K_i و K_d ۶-۳
- ۷۱ $K_i < AK_p K_d$ با اعمال قید فضای پایدارسازی K_i و K_d ۷-۳
- ۷۵ $0 < z < 2\pi$ و $AK = 0.3$ با معادله (۳۶-۳) و $f(z)$ نمودار ۸-۳
- ۷۶ $2\pi < z < 6\pi$ و $AK = 0.3$ با معادله (۳۶-۳) و $f(z)$ نمودار ۹-۳
- ۷۶ $6\pi < z < 10\pi$ و $AK = 0.3$ با معادله (۳۶-۳) و $f(z)$ نمودار ۱۰-۳
- ۸۱ $\tau_2 = A = L = 1$ و فضای پایداری K و τ_1 به ازای ۱ ۱۱-۳
- ۸۱ $\tau_2 = 10$ و $A = L = 1$ و فضای پایداری K و τ_1 به ازای ۱ ۱۲-۳
- ۸۵ $0 < z < 4\pi$ و $AK = 2$ با معادله (۹-۴) و $f(z)$ نمودار ۱-۴
- ۸۶ $4\pi < z < 10\pi$ و $AK = 2$ با معادله (۹-۴) و $f(z)$ نمودار ۲-۴
- ۸۸ $AK = -10$ و $f(z)$ با معادله (۹-۴) و $AK = -10$ نمودار ۳-۴
- ۸۸ $AK = 20$ و $f(z)$ با معادله (۹-۴) و $AK = 20$ نمودار ۴-۴
- ۸۹ $0 < z < 4\pi$ و $AK = 19$ با معادله (۱۰-۴) و $f(z)$ نمودار ۵-۴
- ۹۰ $4\pi < z < 10\pi$ و $AK = 19$ با معادله (۱۰-۴) و $f(z)$ نمودار ۶-۴
- ۹۲ $AK = -100$ و $f(z)$ با معادله (۱۰-۴) و $AK = -100$ نمودار ۷-۴
- ۹۲ $AK = 300$ و $f(z)$ با معادله (۱۰-۴) و $AK = 300$ نمودار ۸-۴
- ۹۴ $AK = 1$ و $f(z)$ با معادله (۱۴-۴) و $AK = 1$ نمودار ۹-۴
- ۹۴ $AK = 2$ و $f(z)$ با معادله (۱۵-۴) و $AK = 2$ نمودار ۱۰-۴
- ۹۵ $AK = 4$ و $f(z)$ با معادله (۱۶-۴) و $AK = 4$ نمودار ۱۱-۴
- ۹۶ $0 < z < 2$ و $AK = -1.05$ و $f(z)$ با معادله (۱۷-۴) و $AK = -1.05$ نمودار ۱۲-۴
- ۹۷ $0 < z < 8\pi$ و $AK = -1.05$ و $f(z)$ با معادله (۱۷-۴) و $AK = -1.05$ نمودار ۱۳-۴
- ۹۸ $AK = 15$ و $f(z)$ با معادله (۱۷-۴) و $AK = 15$ نمودار ۱۴-۴

- ۹۹ $AK = -50$ و $f(z)$ با معادله (۱۷-۴) ۱۵-۴
 ۱۰۰ $0 < z < 2\pi$ و $AK = -5$ و $f(z)$ با معادله (۱۸-۴) ۱۶-۴
 ۱۰۱ $2\pi < z < 10\pi$ و $AK = -5$ و $f(z)$ با معادله (۱۸-۴) ۱۷-۴
 ۱۰۵ $L = 3$ و $T = \tau_2 = 0.2$ نمودار $a(z)$ به ازای ۱۸-۴
 ۱۰۵ $L = 3$ و $T = \tau_2 = 0.2$ نمودارهای $a(z)$ و $f(z)$ به ازای ۱۹-۴
 ۱۰۷ $\tau_2 = -1$ و $T = L = 1$ نمودارهای $a(z)$ و $f(z)$ به ازای ۲۰-۴
 ۱۰۸ $L = \tau_2 = 1$ و $A = 5$ ، $T = 0.5$ ناحیه پایداری K و τ_1 به ازای ۲۱-۴
 ۱۰۸ $\tau_2 = 0.1$ و $L = 1$ ، $A = 5$ ، $T = 0.35$ ناحیه پایداری K و τ_1 به ازای ۲۲-۴
 ۱۱۰ $AK = -2$ نمودار $f(z)$ با معادله (۲۶-۴) و ۲۳-۴
 ۱۱۱ $0 < z < 1.3$ و $AK = -1.5$ نمودار $f(z)$ با معادله (۲۷-۴) ۲۴-۴
 ۱۱۲ $1.3 < z < 8\pi$ و $AK = -1.5$ نمودار $f(z)$ با معادله (۲۷-۴) ۲۵-۴
 ۱۱۳ $AK = -1.5$ نمودار $f(z)$ با معادله (۲۸-۴) ۲۶-۴
 ۱۱۴ $0 < z < 0.2$ و $AK = -0.9999$ نمودار $f(z)$ با معادله (۲۹-۴) ۲۷-۴
 ۱۱۵ $0.2 < z < 8\pi$ و $AK = -0.9999$ نمودار $f(z)$ با معادله (۲۹-۴) ۲۸-۴
 ۱۱۶ $0 < z < 1$ و $AK = 0.5$ نمودار $f(z)$ با معادله (۳۰-۴) ۲۹-۴
 ۱۱۶ $1 < z < 8\pi$ و $AK = 0.5$ نمودار $f(z)$ با معادله (۳۰-۴) ۳۰-۴
 ۱۱۸ $0 < z < 0.6$ و $AK = -1.02$ نمودار $f(z)$ با معادله (۳۱-۴) ۳۱-۴
 ۱۱۸ $0.6 < z < 8\pi$ و $AK = -1.02$ نمودار $f(z)$ با معادله (۳۱-۴) ۳۲-۴
 ۱۱۹ $AK = -40$ نمودار $f(z)$ با معادله (۳۲-۴) ۳۳-۴
 ۱۲۰ $f(z)$ با معادله (۳۳-۴) ۳۴-۴
 ۱۲۲ $AK = 2$ نمودار $f(z)$ با معادله (۳۴-۴) ۳۵-۴
 $A = 5$ ، $T = -10$ ، $L = 1$ به ازای τ_1 ۳۶-۴
 ۱۲۵ $\tau_2 = -\frac{37}{18}$ ۳۷-۴
 $A = 5$ ، $T = -10$ ، $L = 1$ به ازای τ_1 ۳۷-۴
 ۱۲۶ $\tau_2 = -12$
 ۱۳۱ $AK = -0.5$ نمودار $f(z)$ با معادله (۱۰-۵) و ۱-۵
 ۱۳۱ $f(z)$ با معادله (۱۱-۵) ۲-۵
 ۱۳۲ $0 < z < 2$ و $AK = -3$ نمودار $f(z)$ با معادله (۱۲-۵) ۳-۵
 ۱۳۳ $2 < z < 8\pi$ و $AK = -3$ نمودار $f(z)$ با معادله (۱۲-۵) ۴-۵
 ۱۴۲ ۱-۶

۱۴۲	۲-۶
۱۴۳	۳-۶
۱۴۴	۴-۶
۱۴۵	۵-۶
۱۴۶	۶-۶
۱۴۷	۷-۶
۱۴۸	۸-۶
۱۴۹	۹-۶

فهرست جداول

صفحه	عنوان
۵۸	۱-۳ : جدول روث-هرویتز برای چندجمله ای (۷-۳)
۶۸	۲-۳ : جدول روث-هرویتز برای شبه چندجمله ای (۲۷-۳) با فرض $L = 0$
۷۳	۳-۳ : جدول روث-هرویتز برای شبه چندجمله ای (۳۲-۳) با فرض $L = 0$
۱۲۸	۱-۵ : جدول روث-هرویتز برای شبه چندجمله ای (۲-۵) با فرض $L = 0$

پیش گفتار

در این پایان نامه از قضیه H-B استفاده خواهیم کرد که در فصل اول آن را معرفی می کنیم. همچنین در فصل اول قبل از معرفی این قضیه راجع به سیستم های تاخیردار و شبه چندجمله ای ها بحث می کنیم. سپس از این قضیه در فصول بعد که در هر کدام تابع تبدیل حلقه باز خاصی در نظر گرفته می شود، استفاده خواهیم کرد. در فصل دوم تابع تبدیل، انگرالی مرتبه اول است که خانواده کنترلر PID و کنترل کننده مرتبه اول به آن اعمال می شود. در فصل سوم تابع تبدیل، انگرالی مرتبه دوم است که خانواده کنترلر PID و کنترل کننده مرتبه اول به آن اعمال می شود. فصل چهارم دارای تابع تبدیل مرتبه اول است که کنترل کننده مرتبه اول به آن اعمال می شود. در فصل پنجم کنترل کننده مرتبه اول به تابع تبدیل که مرتبه دوم است، اعمال می شود. تمامی این توابع تبدیل دارای ترم تاخیر هستند و در هر فصل فضایی بر حسب بهره های کنترلر طوری به دست می آید که معادله مشخصه سیستم حلقه بسته پایدار هرویتر شود. پس از پایان این ۵ فصل نتیجه گیری و پیشنهادات و نیز مراجع را خواهیم داشت.

مقدمه

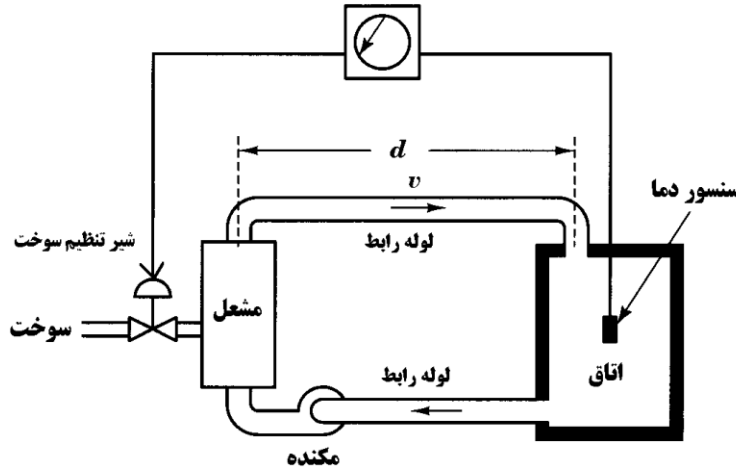
معادلات مشخصه برای سیستم های تاخیردار به عنوان شبیه چندجمله ای ها شناخته می شوند. Pontryagin یکی از اولین محقق هایی بود که راجع به این شبیه چندجمله ای ها مطالعه کرد. او در [۱] روی ریشه های این شبیه چندجمله ای ها و دیگر معادلات غیر جبری بحث کرده است. همچنین او شرایط لازم و کافی را برای منفی شدن بخش حقیقی ریشه های این شبیه چندجمله ای به دست آورد و این شرایط را برای مطالعه پایداری کلاس های معینی از شبیه چندجمله ای ها استفاده کرد. در ادامه کلاس خاصی از این شبیه چندجمله ای ها که مد نظر ما است را معرفی و برای مطالعه پایداری آن از قضیه تعمیم یافته Hermite-Biehler یا به اختصار H-B که در بخش ۲-۱ توضیح می دهیم استفاده می کنیم.

این فصل شامل سه بخش است. بخش ۱-۱ سیستم های تاخیردار و شبیه چندجمله ای ها را شرح می دهد. بخش ۲-۱ قضیه تعمیم یافته H-B را معرفی می کند. بخش ۳-۱ کارهای پیشین را مرور می کند. برای اطلاع کافی از کلیه تعمیم های قضیه B به [۲] مراجعه کنید.

۱-۱- سیستم های تاخیردار و شبیه چندجمله ای ها

تاخیرها در یک سیستم زمانی ایجاد می شوند که یک سیگنال یا متغیر فیزیکی ناشی شده از بخشنده ای از یک سیستم بعد از یک گذشت زمانی در بخشی دیگر، در دسترس شوند. به عنوان نمونه می توان به دو نمونه فرآیند صنعتی تاخیردار زیر اشاره کرد

شکل ۱-۱ یک سیستم حرارتی نشان می دهد که در آن از چرخش هوای داغ برای گرم کردن یک اتاق یا یک محوطه استفاده شده است. در این فرآیند سنسور در فاصله d از مشعل قرار گرفته است و سرعت حرکت هوا در لوله رابط v می باشد. بنابراین تاخیر بین عملکرد مشعل و سنسور به صورت $\frac{d}{v} = L$ است. ورودی این فرآیند زاویه چرخش شیر تنظیم سوت و خروجی آن دمای اتاق است. [۳]



[3] شکل ۱-۱

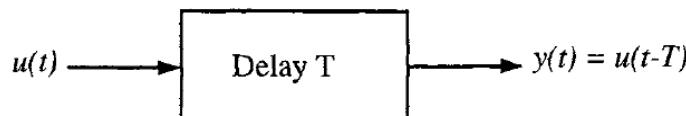
شکل ۱-۲ یک سیستم گرم کننده آب را نشان می‌دهد. آب درون مخزن با استفاده از یک مقاومت الکتریکی داغ شده و توسط یک پمپ با یک لوله که عایق حرارتی است به خروجی سیستم می‌رسد. ورودی فرآیند توان مقاومت (W) و خروجی آن دمای (T) در انتهای لوله است و یک مدل خطی می‌تواند با استفاده از پروسه شناسایی تست گام به گام نزدیک به یک نقطه عملیاتی T_0 و W_0 تعیین شود. زمانی یک گام مثبت به W اضافه می‌شود، دمای درون مخزن شروع به افزایش می‌کند. چنانچه لوله در دمای اولیه T_0 پر از آب شد، این تغییر بلاfacله در خروجی مشاهده نشده و نیاز به زمانی است تا آب داغ به انتهای لوله برسد. بنابراین بعد از یک تاخیر زمانی تعریف شده به وسیله سرعت و طول لوله، دمای خروجی T شروع به افزایش می‌کند. در صورتی که یک سرعت ثابت F در نظر گرفته شود، تاخیر زمانی L می‌توان با استفاده از F و طول لوله V تخمین زده شود به طوری که $L = \frac{V}{F}$ خواهد شد. [4]



[4] شکل ۱-۲: مخزن گرم کننده به همراه یک لوله بلند

همچنین تاخیرها می‌توانند به سبب زمان مرتبط با انتقال اطلاعات به مکان‌های متحرک و یا در سیستم‌های کنترل دیجیتال به سبب زمان صرف شده در محاسبه سیگنال‌های کنترل از دیتای اندازه گیری شده ایجاد شوند.

بلوک موجود در شکل ۱-۳ می‌تواند تاخیر زمانی را نشان دهد.

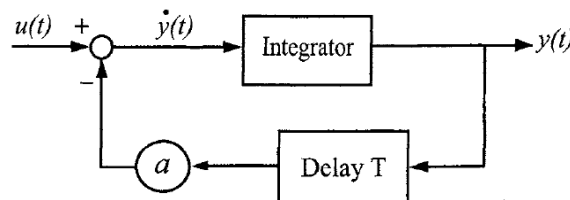


شکل ۱-۳: نمایش تاخیر [5]

در یک سیستم فیدبک دار دینامیک که تاخیر موجود است، معادله سیستم ممکن است فرم زیر را داشته باشد که تاخیر در خروجی ظاهر می‌شود

$$\dot{y}(t) + ay(t - T) = u(t). \quad (1-1)$$

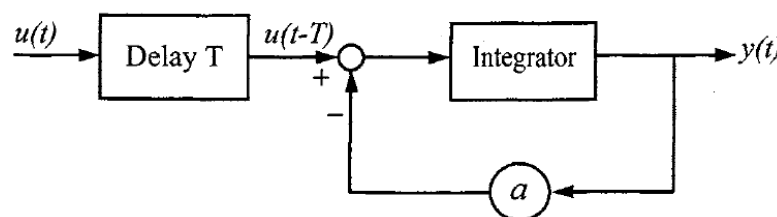
بلوک دیاگرام معادله (۱-۱) در شکل ۱-۴ نمایش داده شده است



شکل ۱-۴: ظاهر شدن تاخیر در خروجی [5]

اگر تاخیر در ورودی ایجاد شود معادله سیستم فرم زیر را دارد که بلوک دیاگرام آن در شکل ۱-۵ نمایش داده شده است

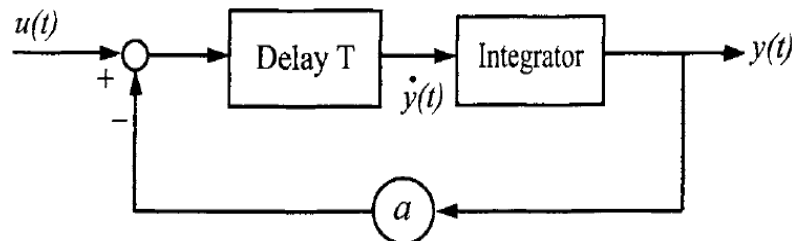
$$\dot{y}(t) + ay(t) = u(t - T). \quad (2-1)$$



شکل ۱-۵: ظاهر شدن تاخیر در ورودی [5]

ممکن است تاخیر درون حلقه ظاهر شود که معادله سیستم فرم زیر را خواهد داشت و بلوک دیاگرام آن در شکل ۱-۶ نشان داده شده است

$$\dot{y}(t) = u(t - T) - ay(t - T), \quad (3-1)$$

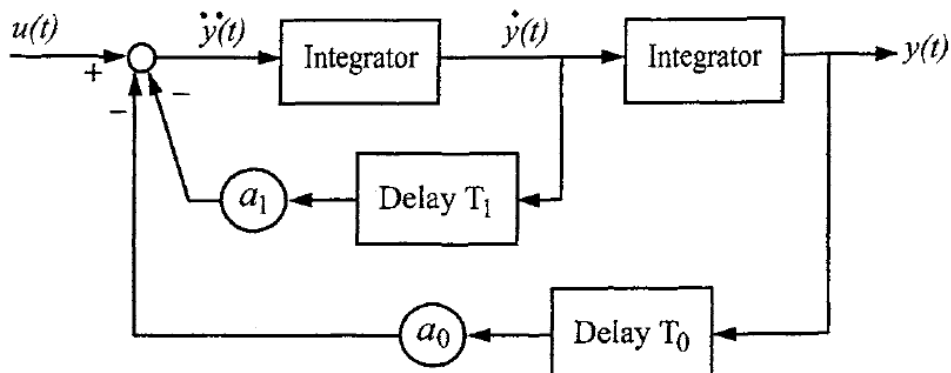


شکل ۱-۶: ظاهر شدن تاخیر درون حلقه [5]

یک سیستم مرتبه بالاتر با چندین تاخیر می تواند با معادله زیر بیان شود

$$\ddot{y}(t) + a_1\dot{y}(t - T_1) + a_0y(t - T_0) = u(t), \quad (4-1)$$

که بلوک دیاگرام معادله (۴-۱) در شکل ۷-۱ نمایش داده شده است



شکل ۷-۱: سیستم با چندین تاخیر [5]

به طور کلی سیستم های خطی دارای تاخیرهای T_l, T_1, \dots در فضای حالت به فرم زیر بیان می شوند

$$x'(t) = A_0x(t) + \sum_{i=1}^l A_i x(t - T_i) + Bu(t). \quad (5-1)$$

برای بحث روی پایداری یک چنین سیستم هایی با معادلات (۴-۱) تا (۴-۴) مفید است که $y(t) = 0$ با قرار دادن $u(t) = 0$ تعیین و روی رفتار $y(t)$ در $t \rightarrow \infty$ مطالعه شود. به عنوان مثال سیستم با معادله (۴-۱) در نظر بگیرید که $u(t) = 0$ قرار داده است و $y(t) = e^{st}$ جواب پیشنهاد شده باشد که داریم

$$(s^2 + a_1 s e^{-T_1 s} + a_0 e^{-T_0 s}) e^{st} \equiv 0. \quad (6-1)$$

به طوری که s در معادله زیر صادق است

$$s^2 + a_1 s e^{-T_1 s} + a_0 e^{-T_0 s} = 0. \quad (7-1)$$

معادله (۷-۱)، معادله مشخصه سیستم (۴-۱) است و مکان ریشه هایش، پایداری سیستم مذکور را تعیین می کند. در حقیقت اگر ریشه هایی در نیم صفحه بسته راست داشته باشد، سیستم ناپایدار است به طوری که خروجی سیستم بدون کران رشد می کند.

معادله مشخصه مرتبط با معادله (۵-۱) می تواند به فرم زیر نشان داده شود

$$\begin{aligned} \delta(s) &\equiv \det(sI - A_0 - \sum_{i=1}^l A_i e^{-T_i s}) \\ &= P_0(s) + \sum_{k=1}^m P_k(s) e^{-L_k s}, \end{aligned} \quad (8-1)$$

که حاصل جمع های T_i هستند و داریم

$$P_0(s) = s^n + \sum_{i=0}^{n-1} a_i s^i, \quad (9-1)$$

$$P_k(s) = \sum_{i=0}^{n-1} (b_k)_i s^i, \quad (10-1)$$

توجه شود که ترم تاخیر در بالاترین مرتبه مشتق ظاهر نشده است. چنین سیستم هایی، سیستم های تاخیر عقب افتاده نامیده می شوند. وقتی که ترم بالاترین مرتبه مشتق شامل تاخیر باشد، چنین معادله ای داریم

$$y''(t - T_2) + a_1 y'(t - T_1) + a_0 y(t - T_0) = u(t), \quad (11-1)$$

که معادله مشخصه می شود

$$s^2 e^{-T_2 s} + a_1 s e^{-T_1 s} + a_0 e^{-T_0 s} = 0. \quad (12-1)$$

چنین سیستم هایی، سیستم های تاخیر خنثی نامیده می شوند

در هر دو سیستم تاخیر عقب افتاده و خنثی پایداری معادل با وضعیتی است که همه ریشه های معادله مشخصه در نیم صفحه چپ قرار بگیرند. یک تفاوت مهم بین طبیعت ریشه های معادله مشخصه سیستم های تاخیر عقب افتاده و خنثی وجود دارد. در یک

سیستم عقب افتاده فقط می‌تواند یک تعداد محدود از ریشه‌ها در نیم صفحه راست داشته باشد که این موقعیت برای همه سیستم‌های خنثی حفظ نمی‌شود.

در نهایت یادآوری می‌شود که در معادلاتی نظیر (۷-۱)، (۸-۱) و (۱۲-۱) تاخیرها ضرایب صحیحی از عامل مثبت τ هستند. در چنین حالاتی گفته می‌شود تاخیرها متناسب هستند و معادله مشخصه فرم زیر را خواهد داشت

$$\delta(s) = a_0(s) + a_1(s)e^{-\tau s} + a_2(s)e^{-2\tau s} + \dots + a_k(s)e^{-k\tau s}, \quad (13-1)$$

که $a_i(s)$ ، $i = 0, 1, \dots, k$ چندجمله‌ای هستند.

بنابراین $\delta(s)$ یک چند جمله‌ای با دو متغیر s و $v \equiv e^{-\tau s}$ می‌باشد.

در فصول بعد با حالت تک تاخیره معادله مشخصه فوق سرو کار خواهیم داشت که این تاخیر درون حلقه فیدبک ظاهر می‌شود. حتی برای این وضعیت ساده نیز مسئله پایداری از نقطه نظر نتیجه گیری پیچیده و چالش برانگیز می‌شود.

۲-۱- قضیه H-B برای شبه چندجمله‌ای‌ها

یکی از روش‌های پایدارسازی این شبه چندجمله‌ای‌ها استفاده از تقریب Padé است که در آن جمله تاخیر با یکتابع تبدیل مناسب مرتبه اول یا دوم یا مراتب بالاتر تقریب زده می‌شود. سپس، به کمک یکی از روش‌های رایج نظیر روث-هرویتر یا قضیه اصلی H-B برای سیستم‌های بدون تاخیر، پایدار می‌شود. این روش دارای محدودیت‌هایی بوده و ممکن است باز هم خروجی سیستم بی‌کران شود. جهت اطلاعات بیشتر می‌توانید به [۵] و [۶] مراجعه کنید. یکی دیگر از روش‌های پایدارسازی، تکنیک D-partition است که در فصل دوم مقایسه ای بین این تکنیک و قضیه تعیین یافته H-B انجام می‌دهیم که نتایج یکسان به دنبال خواهد داشت.

پایدارسازی سیستم بدون تاخیر برای مطالعه نسبتاً ساده است زیرا تعداد ریشه‌های معادله مشخصه اش محدود می‌باشد. اگرچه وقتی تاخیر وارد می‌شود این سهولت از بین می‌رود. زیرا تعداد ریشه‌ها نامحدود شده و پایدارسازی را کاملاً مشکل می‌کند. جهت تشریح این پیچیدگی در فصل دوم [۵] نشان داده شده است که قضیه H-B برای چندجمله‌ای‌ها هردویتر ارائه شده نمی‌تواند برای بررسی پایداری این شبه چندجمله‌ای‌ها استفاده شود. همچنین خاصیت متقاطع ارائه شده در فصل دوم [۵] که در تعریف ۲-۱ به آن اشاره می‌کنیم، نه شرط لازم و نه شرط کافی برای تضمین پایداری این شبه چندجمله‌ای‌ها می‌باشد.

در اینجا روی توابعی به فرم $f(s, e^s)$ مطالعه می‌شود که $f(s, t)$ یک چند جمله‌ای دو متغیره می‌باشد. قبل از ارائه نتایج چند تعریف اولیه مطرح می‌شود. $f(s, t)$ را یک چند جمله‌ای دو متغیره با ضرایب حقیقی یا مختلط به فرم زیر در نظر بگیرید

$$f(s, t) = \sum_{j=0}^M \sum_{k=0}^N a_{jk} s^j t^k. \quad (14-1)$$

تعريف ۱-۱-۵] گفته می شود $f(s, t)$ جمله عمده دارد اگر یک ضریب غیر صفر a_{jk} وجود داشته باشد که هردو اندیس، ماکزیمم مقدار را داشته باشد. بدون گم کردن اصل موضوع، $a_{MNS^M t^N}$ را جمله عمده می نامیم. به عنوان مثال $f(s, t) = 2s + t^3 - st^3$ دارد که همان $f(s, t) = 2s + t^3 - st^3$ می باشد. حالا اولین نتیجه Pontryagin بیان می شود.

قضیه ۱-۱-۵] اگر چندجمله ای $f(s, t)$ جمله عمده نداشته باشد آنگاه تابع $F(s) = f(s, e^s)$ یک تعداد ریشه نامحدود با بخش های حقیقی مثبت دلخواه بزرگ خواهد داشت.

اگر $f(s, t)$ جمله عمده داشته باشد، نتیجه اصلی Pontryagin نشان می دهد که قضیه H-B به کلاس توابع $F(s) = f(s, e^s)$ تعمیم می یابد. قبل از ارائه این تعمیم نیاز به بیان مقدماتی می باشد.

دوباره تابع $f(s, t)$ با فرض داشتن جمله عمده $a_{MNS^M t^N}$ به صورت زیر نوشته می شود

$$f(s, t) = s^M X^{*(N)}(t) + \sum_{j=0}^{M-1} \sum_{k=0}^N a_{jk} s^j t^k, \quad (15-1)$$

که $X^{*(N)}(t)$ ضریب s^M است. از اینرو $X^{*(N)}(t)$ می شود

$$X^{*(N)}(t) = \sum_{k=0}^N a_{Mk} t^k. \quad (16-1)$$

حال تعريف زیر برای متقطع بودن مطرح می شود

تعريف ۱-۲-۵] $F(s) = f(s, e^s)$ در نظر بگیرید که $f(s, t)$ چند جمله ای دارای جمله عمده باشد و نوشته شود $F(j\omega) = F_r(\omega) + jF_i(\omega)$. $(17-1)$

که $F_r(\omega)$ و $F_i(\omega)$ به ترتیب نشان دهنده بخش های حقیقی و موهومی $F(j\omega)$ هستند. $\dots, \omega_{r1}, \omega_{r2}, \omega_{r3}, \dots$ ریشه های حقیقی $F_r(\omega)$ و $\omega_{i1}, \omega_{i2}, \omega_{i3}, \dots$ ریشه های حقیقی $F_i(\omega)$ به ترتیب بزرگی آنها فرض شوند. آنگاه ریشه های $F_r(\omega)$ و $F_i(\omega)$ زمانی متقطع هستند که خاصیت ذیل را داشته باشند

$$\omega_{r1} < \omega_{i1} < \omega_{r2} < \omega_{i2} < \dots \quad (18-1)$$

در این تعريف داریم

$$F_r(\omega) = g_r(\omega, \cos(\omega), \sin(\omega)), \quad F_i(\omega) = g_i(\omega, \cos(\omega), \sin(\omega)). \quad (19-1)$$

بعد از این مقدمات، تعمیم قضیه H-B برای شبه چندجمله ای $F(s) = f(s, e^s)$ ارائه می شود.

قضیه ۱-۲-۵] با فرض $f(s, t)$ چند جمله ای دارای جمله عمده باشد و نوشته شود $F(j\omega) = F_r(\omega) + jF_i(\omega)$.